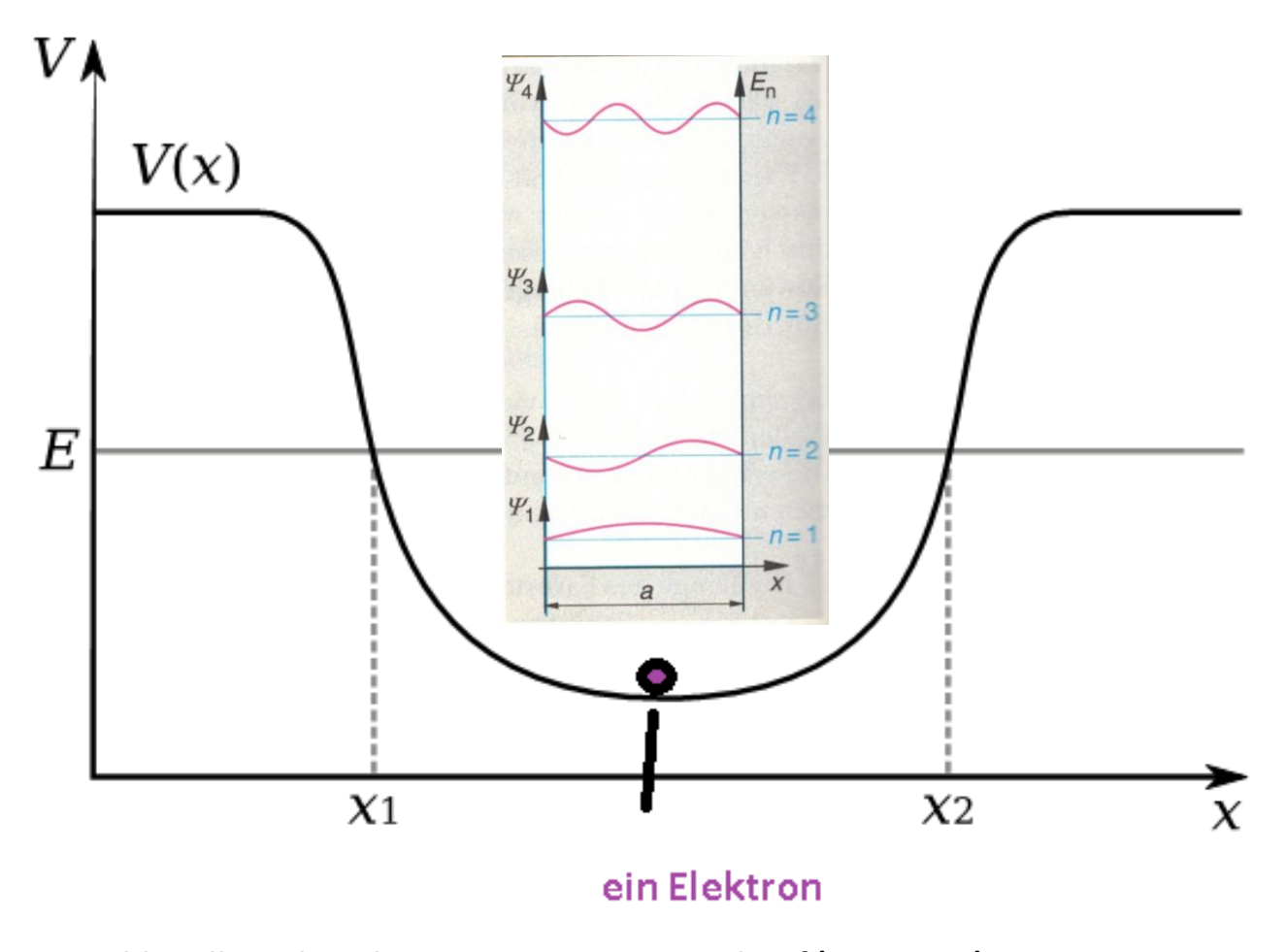
Abschlussprojekt:

Die numerischen Lösungen der Schrödingergleichung für ein Elektron im Potentialtopf am Beispiel von Python

Das Modell:



Die zeitunabhängige Schrödinger-Gleichung und die Randbedingungen:

$$-\frac{\hbar^2}{2m}\frac{d^2\psi}{dx^2} + V(x)\psi = E\psi$$

$$\psi(0) = \psi(L) = 0$$

$$\begin{array}{c|c}
R & & \\
N & & \\
R & & \\
R & & \\
R
\end{array}$$

Bildquelle: wikipedia.org: Eintrag: Potentialtopf (1.12.2023)

Bildquelle: abiweb.de; Eintrag: Cyanin-Farbstoffe (1.12.2023)

Praktische Anwendungen:

Quantum wells:

- Semiconductor material with small energy gap (e.g. GaAs) is sandwiched between energy barriers from material with a larger energy gap (e.g. AlGaAs). A quantum well is formed between the barriers.
- Typical layer thicknesses ~ 1-10 nm.
- Quantization effects result in allowed energy bands, whose energy positions are dependent on the height and width of the barrier.
- This is used in the fabrication of specialised semiconductor devices such as: laser diodes, high electron mobility transistors (HFET or MODFET), quantum well infrared photodetectors (QWIP arrays).





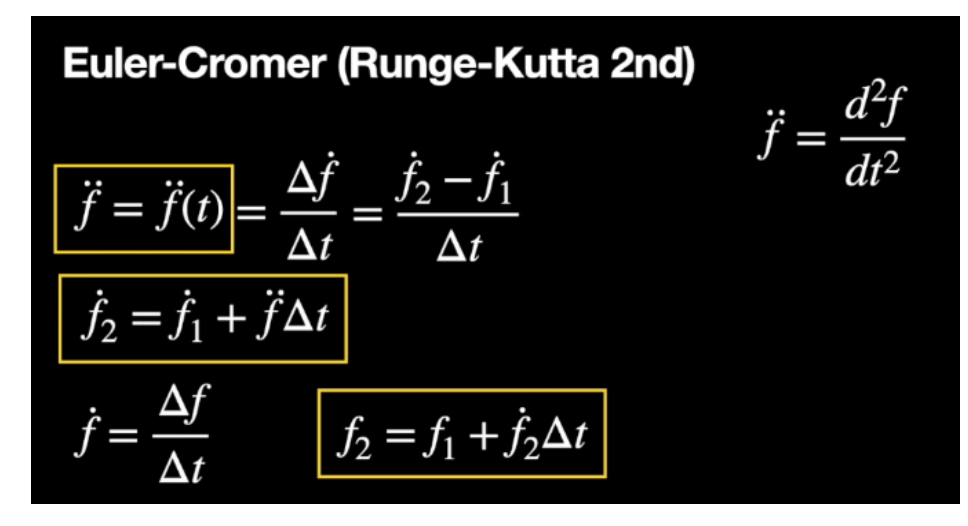
Quelle: Quantum Mechanics(P304H) Lectures- University of Glasgow

Die Funktionsweise des Algorithmus:

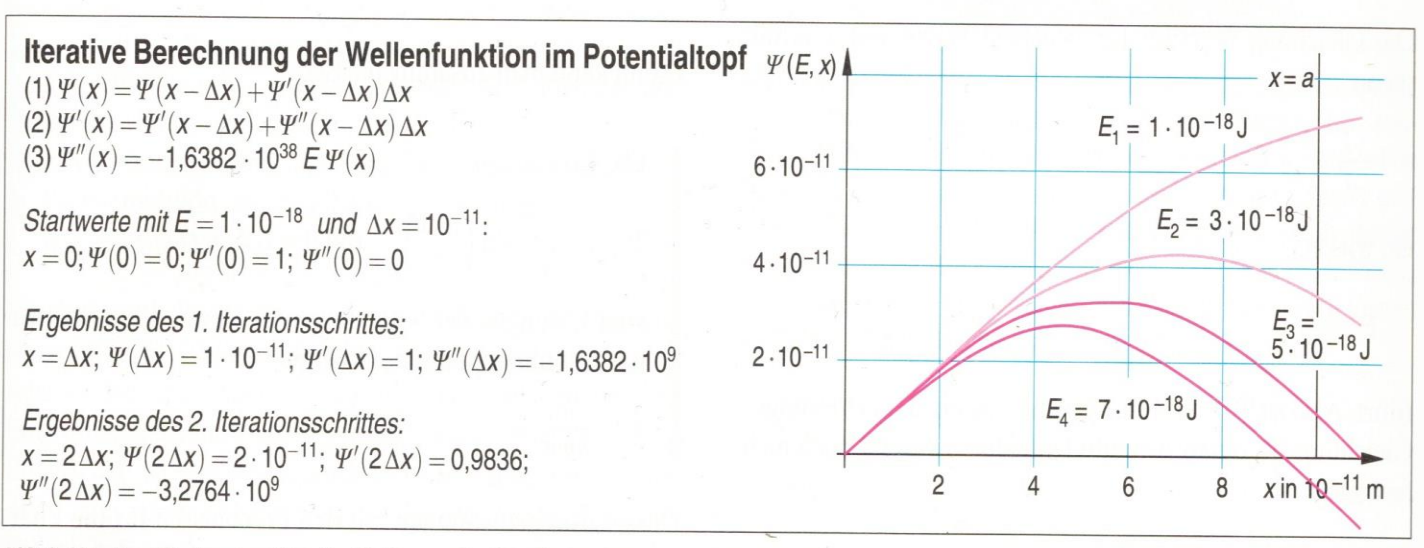
Die zeitunabhängige Schrödinger-Gleichung und die Randbedingungen:

$$-\frac{\hbar^2}{2m}\frac{d^2\psi}{dx^2} + V(x)\psi = E\psi$$

$$\psi(0) = \psi(L) = 0$$



Quelle: Allain Rhett: Solving the schroedinger equation with finite difference methods, https://trinket.io/glowscript/a068e60f42

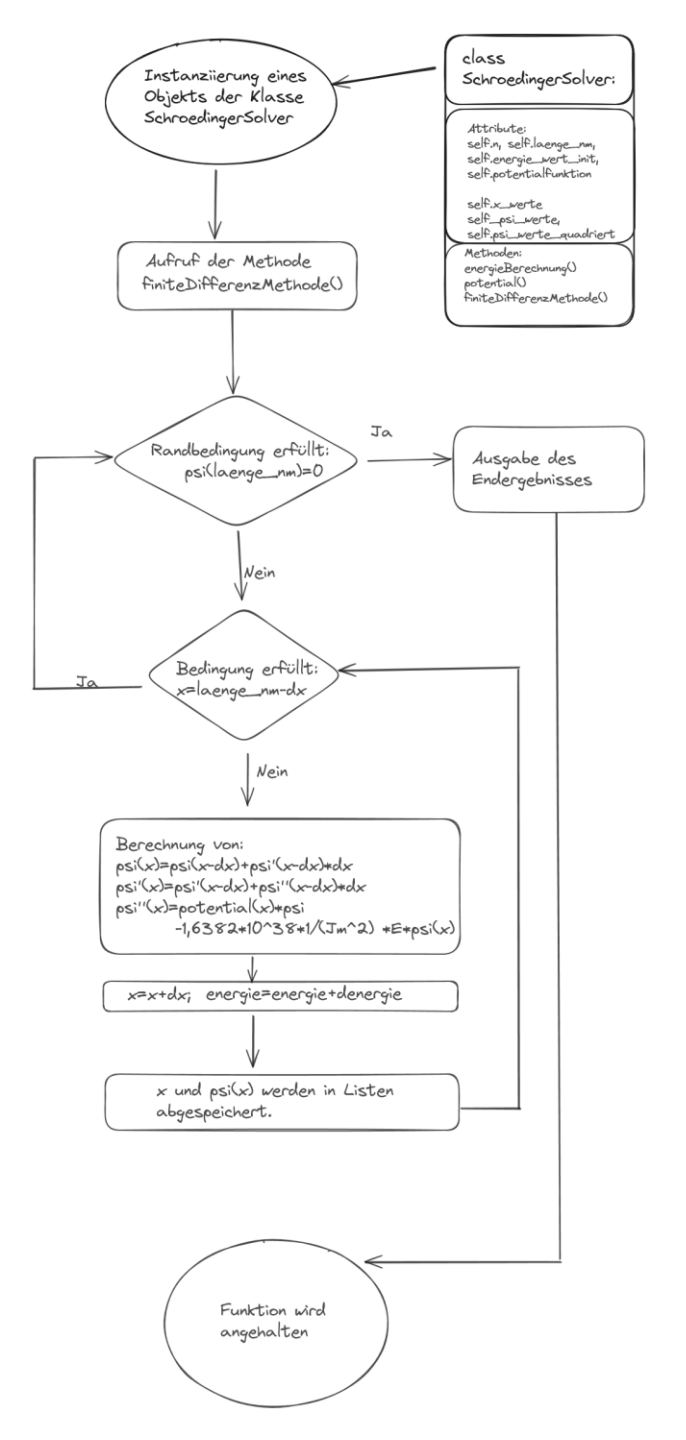


419.1 Mit den Startwerten für die Stelle x=0 gibt die Iterationsvorschrift die Berechnung von $\Psi(x)$ an der Stelle Δx vor. Das Ergebnis ist $\Psi(10^{-11})=10^{-11}$. Die Iteration liefert weitere Werte von $\Psi(x)$, mit denen der Graph der Funktion $\Psi(x)$ für die Energie $E=1\cdot 10^{-18}$ J gezeichnet wird. Andere Werte von E=1 führen zu weiteren Graphen. Ein Wert von E=1 wie z. B. E=1 der zu einem Graphen durch den Punkt E=1 führt, beschreibt einen Quantenzustand. (Die Iteration wird natürlich nur mit den Zahlenwerten und ohne Einheiten durchgeführt.)

Quelle: J. Grehn, J. Krause: Metzler Physik, Schroedel-Verlag (2006): Seite: 419, 436

Der Algorithmus:

```
while psi_final >0:
  x = 0
  psi = 0
  dpsi = 1
                                                  (1) \Psi(x) = \Psi(x - \Delta x) + \Psi'(x - \Delta x) \Delta x
  while x < self.laenge nm-dx:
                                                  (2) \Psi'(\mathbf{x}) = \Psi'(\mathbf{x} - \Delta \mathbf{x}) + \Psi''(\mathbf{x} - \Delta \mathbf{x}) \Delta \mathbf{x}
    psi = psi + dpsi * dx
                                                  (3) \Psi''(x) = -1,6382 \cdot 10^{38} E \Psi(x)
    dpsi = dpsi + ddpsi * dx
    ddpsi = self.potential(x)*psi-self.__konstanten_dict["8mepi2/h2"] * energie_wert * psi
    x = x + dx
    psi_final = psi
    energie_wert = energie_wert + denergie
    x_{wert.append(x)}
    psi_wert.append(psi)
    psi_wert_quadriert.append(psi**2)
    self.x_werte=x_wert
    self.psi_werte=psi_wert
    self.psi_werte_quadriert=psi_wert_quadriert
    print(" Der numerisch berechnete Energiewert ausgehend von einem Anfangsenergiewert E=",se
  return self.x_werte, self.psi_werte, self.psi_werte_quadriert
```



Die nächsten Schritte:

• Eigenvektoren und Eigenwerte mit der Funkton eigh_tridiagonal berechnen:

$$\begin{bmatrix} \frac{1}{\Delta y^{2}} + mL^{2}V_{1} & -\frac{1}{2\Delta y^{2}} & 0 & 0 \dots \\ -\frac{1}{2\Delta y^{2}} & \frac{1}{\Delta y^{2}} + mL^{2}V_{2} & -\frac{1}{2\Delta y^{2}} & 0 \dots \\ \dots & \dots & \dots & -\frac{1}{2\Delta y^{2}} \\ \dots & 0 & 0 & -\frac{1}{2\Delta y^{2}} & \frac{1}{\Delta y^{2}} + mL^{2}V_{N-1} \end{bmatrix} \begin{bmatrix} \psi_{1} \\ \psi_{2} \\ \dots \\ \psi_{N-1} \end{bmatrix} = mL^{2}E \begin{bmatrix} \psi_{1} \\ \psi_{2} \\ \dots \\ \psi_{N-1} \end{bmatrix}$$

$$\Rightarrow \Psi''(x_i) = \frac{\Psi(x_{i+1}) - 2\Psi(x_i) + \Psi(x_{i-1})}{d^2}$$

$$\psi_0 = \psi_N = 0$$

from scipy.linalg import eigh_tridiagonal

Zeitabhängige Schrödingergleichung berechnen in 2D, 3D

$$i\hbar\frac{\partial}{\partial t}\psi(x,t) = -\frac{\hbar^2}{2m}\frac{\partial^2}{\partial x^2}\psi(x,t) + V(x)\psi(x,t) \qquad \qquad \psi(0,t) = \psi(L,t) = 0$$

Benutzerfreundliche GUI

Quelle: Luke Polson: Eigenvalue_eigenfunction_solution,

https://github.com/lukepolson/youtube_channel/blob/main/Python%20Metaphysics%20Series/vid3.ipynb

Die nächsten Projekte:

Iterative Berechnung der Wellenfunktion im H-Atom

(1)
$$\Psi(r) = \Psi(r - \Delta r) + \Psi'(r - \Delta r) \Delta r$$

(2) $\Psi'(r) = \Psi'(r - \Delta r) + \Psi''(r - \Delta r) \Delta r$

(3)
$$\Psi''(r) = -2\Psi'(r)/r - 1,6382 \cdot 10^{38} (E + 2,30708 \cdot 10^{-28}/r) \Psi(r)$$

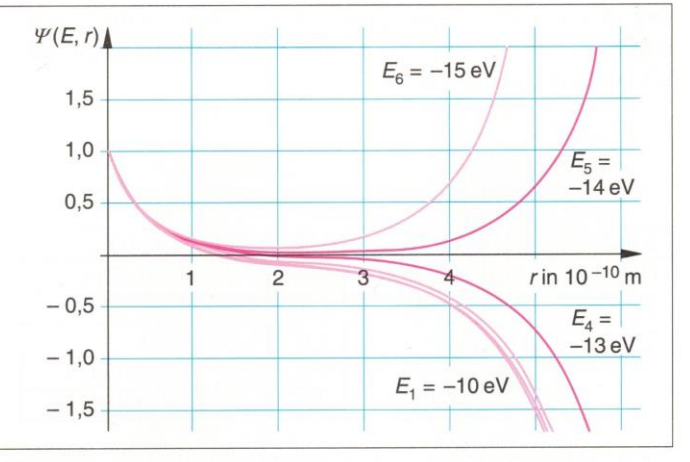
Startwerte mit
$$E = -15 \cdot 1,602 \cdot 10^{-19}$$
 und $\Delta r = 10^{-12}$:
 $r_0 = 10^{-12}$; $\Psi(r_0) = 1$; $\Psi'(r_0) = -10^{10}$; $\Psi''(r_0) = -1,7401 \cdot 10^{22}$

Ergebnisse des 1. Iterationsschrittes:

$$r = r_0 + \Delta r$$
; $\Psi'(r_0 + \Delta r) = 0.99$; $\Psi'(r_0 + \Delta r) = -2.7401 \cdot 10^{10}$; $\Psi''(r_0 + \Delta r) = 9.0823 \cdot 10^{21}$

Ergebnisse des 2. Iterationsschrittes:

$$r = r_0 + 2\Delta r$$
; $\Psi(r_0 + 2\Delta r) = 0.9626$; $\Psi'(r_0 + 2\Delta r) = -1.8319 \cdot 10^{10}$; $\Psi''(r_0 + 2\Delta r) = 4.6432 \cdot 10^{20}$



419.2 Mit den Startwerten für die Stelle $r_0=10^{-12}$ m gibt die Iterationsvorschrift die Berechnung von $\Psi(r)$ an der Stelle $r_0+\Delta r$ vor. Die Iteration liefert die Werte von $\Psi(r)$, mit denen der Graph für die Energie $E=-15\cdot 1,6\cdot 10^{-19}\,\mathrm{J}$ gezeichnet wird. Die Iteration wird mit unterschiedlichen Werten von E wiederholt. Zwischen $E=-14\cdot 1,6\cdot 10^{-19}\,\mathrm{J}$ und $E=-13\cdot 1,6\cdot 10^{-19}\,\mathrm{J}$ liegt bei etwa $-13,6\cdot 1,6\cdot 10^{-19}\,\mathrm{J}$ der Wert von E_1 , der zur ersten Lösungsfunktion mit $\Psi(\infty)=0$ führt.

Quelle: J. Grehn, J. Krause: Metzler Physik, Schroedel-Verlag (2006): Seite: 419

Absorptionsmaxima von Farbstoffmolekülen (Parameter: C-Atome n in der konjugierten Ketten- Länge)

$$\begin{array}{c|c}
R & \bigoplus_{\substack{N \\ R}} & \bigcap_{\substack{N \\ R}} & \bigcap_{\substack{N$$

Bildquelle: abiweb.de;

Eintrag: Cyanin-Farbstoffe (1.12.2023)